

變分法에 依한 Bilateral Fin-Line 構造의 解析에 關한 研究

(A Study on the Analysis of Bilateral Fin-Line Structure by Variational Method)

林 在 凤*, 李 忠 雄**

(Jae Bong Lim and Choong Woong Lee)

要 約

Bilateral Fin-line 構造를 Rayleigh-Ritz의 變分法으로 解析하는 方法을 提示하고, Bilateral Fin-line 帶域通過 濾波器를 具現하여 實驗과 理論이 一致함을 보였다.

Abstract

In this paper, the Bilateral Fin-Line structure is analyzed by Rayleigh-Ritz variational method including the effects of conductor thickness.

Bilateral Fin-Line bandpass filters are realized at X-Band. Experimental results are in good agreement with the theory.

I. 序 論

Fin-line 構造는 低損失 및 製作의 容易함 때문에 마이크로波 濾波器에 대단히 適合한 構造다. Unilateral Fin-line 濾波器는 特히 製作이 용이하며, Bilateral Fin-line 濾波器는 低損失 特性에서 우수하다.

Fin-line 構造의 解析方法은 mode-matching法과 變分法을 토대로 여러가지 方法이 提示되어 왔다.

Konishi^[1]는 E-平面 濾波器를 Rayleigh-Ritz 變分法에 依하여 解析하였으며, Arndt^[2]와 Shih^[3]는 mode-matching法을 利用한 Generalized Scattering Matrix法에 依하여 Fin-line 構造를 解석했다. Chang^[4]은

Fin-line의 幅이 좁은 경우에 Fin-line에 흐르는 電流密度를 均一하다고 가정하여, 變分法에 의하여 解석했다.

Lim과 Lee^[5]는 Unilateral Fin-line 構造를 Rayleigh-Ritz 變分法으로 解석하는 방법을 提示하였다. 이 방법은 Fin-line의 幅이 넓은 경우에도 적용되며, Generalized Scattering Matrix法에 비하여 식이 간단하고, 컴퓨터 CPU 소요시간이 적어지며, 행렬의 크기가 1/3로써 메모리가 적게 소요된다.

본 연구에서는, Bilateral Fin-line 構造를 Rayleigh-Ritz 變分法으로 解석하는 방법을 提示하고, 實驗적으로 Bilateral Fin-line 대역통과 여파기를 설계하여, 理論과 實驗이 일치함을 보였다. 또 近似項 數에 따른 濾波器 特性의 變화와 導體板의 두께에 依한 影響을 分析하여 理論과 實驗이 一致함을 보였다.

II. 理 論

Bilateral Fin-line 帶域通過 濾波器의 基本構造는 Fig. 1과 같이 誘電體 슬래브만으로 채워진 부분(L)과

*正會員, 國民大學校 電子工學科

(Dept. of Elec. Eng., Kook-Min Univ.)

**正會員, 서울大學校 電子工學科

(Dept. of Elec. Eng., Seoul National Univ.)

接受日字 : 1985年 8月 2日

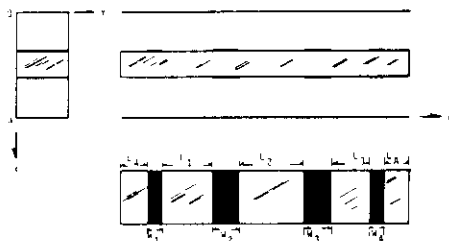


그림 1. Bilateral Fine-line 濾波器
Fig. 1. Bilateral Fin-line filter.

誘電体兩面에 金屬薄膜 코팅된 부분(誘電体 인덕터 보 스트립, W)으로構成되어 있다.

1. 스칼라·포텐셜函數와 傳播常數

Fig. 2의 Bilateral Fin-line 構造에서, 不連續面이 y -軸을 따라一定하므로 TE_{10} 모드가入射하면, 不連續面에 의해各領域에發生되는高次모드는 TE_{10} 모드가 되며, 領域(I), (II) 및 (IV)는 $x=a/2$ 에 대해對稱的인構造이므로 $\ell=1, 3, 5 \dots$ 인奇数高次모드만이발생된다.

各領域에서의 스칼라·포텐셜函數와傳播常數는 다음과 같이表示된다.

$$(I) f_n(x) = \sqrt{\frac{2}{a}} \sin \frac{(2n-1)\pi x}{a} [u(x) - u(x-a)] \quad (1)$$

$$\Gamma_n = \sqrt{\left[\frac{(2n-1)\pi}{a} \right]^2 - k_0^2}, \quad n=1, 2, 3 \dots \quad (2)$$

$$(III) \psi_{1n}(x) = \sqrt{\frac{2}{d}} \sin \frac{n\pi x}{d} [u(x) - u(x-d)] \quad (3)$$

$$\gamma_{1n} = \sqrt{\left(\frac{n\pi}{d} \right)^2 - k_0^2}, \quad n=1, 2, 3 \dots \quad (4)$$

$$(IV) \psi_{2n}(x) = \sqrt{\frac{2}{t}} \sin \frac{(2n-1)\pi(x-b)}{t} [u(x-b) - u(x-b-t)] \quad (5)$$

$$\gamma_{2n} = \sqrt{\left[\frac{(2n-1)\pi}{t} \right]^2 - \epsilon_r k_0^2}, \quad n=1, 2, 3 \dots \quad (6)$$

$$(V) \psi_{3n}(x) = \sqrt{\frac{2}{d}} \sin \frac{n\pi(a-x)}{d} [u(x-a+d) - u(x-a)] \quad (7)$$

$$\gamma_{3n} = \gamma_{1n}, \quad n=1, 2, 3, \dots \quad (8)$$

여기서 $k_0 = \omega \sqrt{\mu_0 \epsilon_0}$, $u(x)$ 는單位階殷函수다.

領域(II)는誘電体(比誘電率: ϵ_r)가部分적으로 채워진導波管으로써 스칼라·포텐셜函數 및 전파상수를 각각 $\Phi_k(x)$ 와 γ_k 라 하자. 傳播常數 γ_k 에 대한變分表現式은 다음과 같다^[6]:

$$\gamma_k^2 \int_0^a \Phi_k^2(x) dx = \int_0^a \left[\left(\frac{d\Phi_k}{dx} \right)^2 - K(x) k_0^2 \Phi_k^2 \right] dx \quad (9)$$

$\Phi_k(x)$ 를 다음과 같이 empty guide 스칼라·포텐셜函數 $f_n(x)$ 로 N-項近似化하여展開한다.

$$\Phi_k(x) = \sum_{n=1}^N b_{nk} f_n(x) \quad (10)$$

Rayleigh-Ritz 變分法^[7]에 의하여 (10)식을 (9)식에 대입하여 (11)식과 같은 N개의齊次連立方程式을 얻는다.

$$\sum_{n=1}^N b_{nk} (T_{sn} - \gamma_k^2 \delta_{sn}) = 0, \quad \text{for } s=1, 2, \dots, N \quad (11)$$

$$T_{sn} = \int_0^a \left[\left(\frac{df_s}{dx} \right)^2 + k_0^2 K(x) f_s(x) f_n(x) \right] dx \quad (12)$$

$$K(x) = \begin{cases} \epsilon_r, & \frac{a-t}{2} \leq x \leq \frac{a+t}{2} \\ 1, & \text{otherwise} \end{cases} \quad (13)$$

δ_{sn} : Kronecker delta

(11)식은 결국 고유치 문제로써, 이식에서 b_{nk} 와 γ_k 를 얻는다.

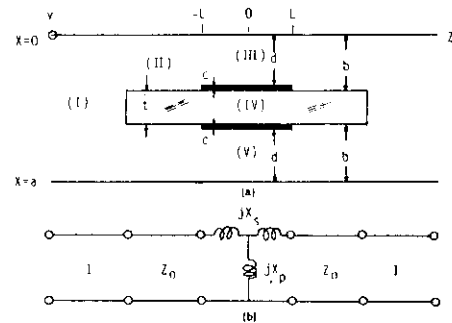


그림 2. (a) 導波管內의誘電體그림과誘電體 스트립構造
(b) 等價回路

Fig. 2. (a) Structure of Dielectric slab and Dielectric strip in waveguide.
(b) Equivalent circuit.

2. 誘電체 인덕터보 스트립의等價回路

Fig. 2 (a)는 Bilateral Fin-line의基本構造로써 그等價回路는 Fig. 2 (b)로 나타낼 수 있다. Fig. 2 (b)에서, 傳送線路의特性Impedance Z 와 T-等價回路의素阻抗 X_s 와 X_p 는 TE_{10} 모드의波動Impedance $Z_0 = jk_0 \eta / \Gamma_1$ 에 대해正規화된값을 갖는다.

또誘電체슬립이채워진領域(II)의正規화特性Impedance Z 는 다음의式으로주어진다^[8]:

$$Z = \frac{\Gamma_1}{\gamma_1} \quad (14)$$

Fig. 2 (a)에서, $Z=0$ 面의開放回路($\epsilon=1$), 또는短絡回路($\epsilon=2$)가될때, $Z=-\ell$ 에서본正規화入力 어드미턴스(TE_{10} 모드의波動어드미턴스, $Y_0 = \Gamma_1 / jk_0 \eta$ 에대한)를각각 Y_{sc} 와 Y_{oc} 라하면

$$jX_s = \frac{1}{Y_{sc}} \quad (15)$$

$$jX_p = \frac{1}{2} \left(\frac{1}{Y_{sc}} - \frac{1}{Y_{oc}} \right) \quad (16)$$

인 관계에 있다.

$Z = -\ell$ 的 開口面 電界를 $\psi(x)$ 라 하고, Y_{oc} 및 Y_{sc} 에 대한 變分表現式을 求하면(부록 참조)

$$\begin{aligned} Y^{(t)} &= \frac{Y_{sc}}{Y_{oc}} \frac{1 - R^{(t)}}{1 + R^{(t)}} \\ &= \frac{\sum_{n=1}^N Y_n \left(\int_0^a \psi^{(t)}(x) \Phi_n(x) dx \right)^2 + \sum_{m=1}^N [2Y_{im}B^{(t)}(\gamma_{im}\ell) \right. \\ &\quad \left. \left(\int_b^{b+t} \psi^{(t)}(x) \psi_{2m}(x) dx \right)^2 \right]}{\left(\int_b^{b+t} \psi^{(t)}(x) \psi_{1m}(x) dx \right)^2 + Y_{im}B^{(t)}(\gamma_{im}\ell)} \end{aligned} \quad \dots (17)$$

$$Y^{(t)} = \begin{cases} Y_{oc}, \epsilon = 1 \\ Y_{sc}, \epsilon = 2, \end{cases} \quad B^{(t)}(x) = \begin{cases} \tanh(x), \epsilon = 1 \\ \coth(x), \epsilon = 2 \end{cases}$$

이 된다. 開口面 電界 $\psi^{(t)}(x)$ 를 다음과 같은 試射數로 展開한다.

$$\begin{aligned} \psi^{(t)}(x) &= \sum_{s=1}^N M_s^{(t)} \left[\sqrt{\frac{d}{2}} p_2 \psi_{1s}(x) + \sqrt{\frac{1}{2}} \cdot p_1 \psi_{2s}(x) + \right. \\ &\quad \left. \sqrt{\frac{t}{2}} \cdot p_2 \psi_{3s}(x) \right] \end{aligned} \quad (18)$$

여기에서 p_1 과 p_2 는 각각

$$p_1 = \int_b^{b+t} (\sin \frac{\pi x}{a})^2 dx \quad (19)$$

$$p_2 = \int_b^a (\sin \frac{\pi x}{a})^2 dx \quad (20)$$

로써, $+Z$ 方向으로 入射한 TE_{10} 모드에 포함된 電力中, 각각 区間 $b \leq x \leq b+t$ 와 구간 $0 \leq x \leq d$ 사이에 흐르는 電力を 意味한다.

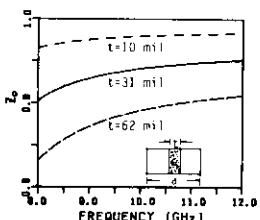


그림 3. 유전체 슬레이프 웨이브 굴드의 정규화 임피던스

Fig. 3. Normalized impedance of dielectric slab loaded waveguide ($a = 900$ mil, $N = 30$, $\epsilon_r = 2.065$).

Rayleigh-Ritz 變分法에 依하여 (18)식을 (17)식에 대입하여 정리하면, (21)식과 같은 N개의 齎次 連立方程式을 얻는다.

$$Y_s \cdot Y^{(t)} \cdot \sum_{s=1}^N M_s^{(t)} p_{s1} p_{r1} = \sum_{s=1}^N M_s^{(t)} g_{sr}^{(t)} \quad \text{for } r = 1, 2, \dots, N \quad (21)$$

$$g_{sr}^{(t)} = \sum_{n=1}^N Y_n p_{sn} p_{rn} + \sum_{m=1}^N \left[p_r \cdot d Y_{im} B^{(t)}(\gamma_{im}\ell) + \frac{t}{2} p_1 \cdot Y_{im} B^{(t)}(\gamma_{im}\ell) \right] \delta_{sm} \delta_{rm} \quad (22)$$

$$p_{sn} = \sqrt{2p_2d} \int_0^d \psi_{1s}(x) \Phi_n(x) dx + \sqrt{\frac{p_1t}{2}} \int_b^{b+t} \psi_{1s}(x) \Phi_n(x) dx \quad (23)$$

(21)식에서 Y_{oc} 및 Y_{sc} 를 求하고, 다시 (15), (16)식에서 X_s 와 X_p 를 求한다. Fig. 4는 X-band에서 X_s 와 X_p 를 計算한 결과를 보여준다.

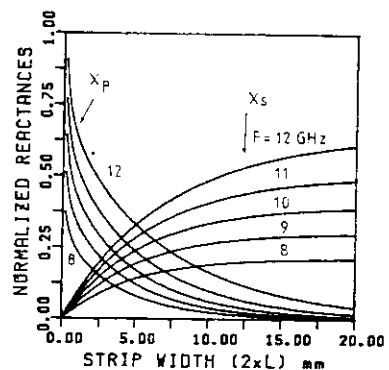


그림 4. 그림 2의 T-등가회로의 정규화 리액턴스

Fig. 4. Normalized reactances of T-equivalent circuit of Fig. 2. ($a = 900$ mil, $t = 31$ mil, $c = 0.7$ mil, $\epsilon_r = 2.065$, $N = 30$).

Arndt^[2]나 Shih^[3]의 Generalized Scattering Matrix法에서는 行列이 複素数로 표시되어, 이를 複素行列의 금셈 및 逆行列 演算이 많고, N項 近似化를 取했을 때 行列의 크기가 $(3N \times 3N)$ 이 된다. 반면에 本研究에서 提示한 變分解析 方法은 (21)식에서 알 수 있듯이 $Y^{(t)}$ 와 $g_{sr}^{(t)}$ 는 純虛数로써 컴퓨터로 $Y^{(t)}$ 를 求할 때 純實数의 演算 처리가 가능하며, 行列의 크기가 $(N \times N)$ 로써 소요 메모리가 확연 줄어들고, 또한 연산시간도 단축된다.

變分法에 依하여 Bilateral Fin-line 構造를 解析할 때, Y_{oc} 와 Y_{sc} 를 구하기 위해서는 단지 4 번의 행렬식 연산과 誘電体 슬레이프 웨이브 굴드 부분의 스칼라·포텐셜 합수와 전파상수를 구하기 위한 1번의 고유치 연산이 필요하므로 계산시간이 짧다. 본 연구에서 제시한 방법에 의하여 3 단 여파기를 설계했을 때, MV-8000 시스템으로 $N=30$ 項을 取하여 약 1분의 CPU 時間이 소요되었다. 참고적으로 Arndt^[2]는 3 단 여파기의 설계에 $N=20$ 項을 取하여 Siemens-7880 시스템으로 20

~30分의 CPU 時間이 所要되었으며, Shih^[3]는 5단 여파기 설계에 $N=2$ 일 경우, CDC 170/750 Dual 시스템에서 약 2分의 時間이 所要되었다.

III. 濾波器의 設計 및 實驗 結果

上記 理論의 妥當性을 증명하기 위해 대역통과 여파기를 Lim과 Lee^[4]의 方法에 따라 設計하였으며, 比誘電率이 2.065, 두께 31mil, 동판두께 0.7mil인 CuFlon基板을 使用하여 濾波器를 製作하였다. 컴퓨터 시뮬레이션 결과, 近似項의 数는 30 程度면 充分하였으며, 設計된 濾波器의 理論的 周波数 特性의 計算은 上記의 變分法을 利用하여 $N=30$, $C=0.7\text{ mil}$ 로 하여 求했다.

近似項 수 N 의 变化에 따른 濾波器 特性的 변화를 보기위해 $N=10$ (표 1의 2), $N=30$ (표 1의 1)으로 設計했으며, 동판두께에 의한 영향을 고찰하기 위해 $C=0.0$ (표 1의 3)과 $C=0.7\text{ mil}$ (표 1의 1)로 設計하였다.

표 1. Bilateral Fin-line 대역통과 여파기의 설계자료
Table 1. Design data of Bilateral Fin-line bandpass filters.

0.2dB, 3-section Tschebyscheff filter

$a=900\text{ mil}$, $t=31\text{ mil}$, $\epsilon_r=2.065$ CuFlon

Guided bandwidth=6%, $F_0=10.5\text{ GHz}$

unit:mm

No.	L_A	$W_1=W_4$	$L_1=L_4$	$W_2=W_3$	L_2	$C(\text{mIL})$	N
1	14.852	2.588	12.405	9.236	12.395	0.7	30
2	14.781	2.833	12.280	9.506	12.285	0.7	10
3	14.821	2.672	12.343	9.352	12.333	0.0	30

Fig. 5는 $N=30$, $C=0.7\text{ mil}$ 로 설계한 여파기의 特性으로 理論과 實驗이 一致하였다. 이때 最小 挿入損失은 0.2dB였다.

Fig. 6은 N 의 变化에 따른 特性변화를 보여주고 있으며, $N=30$ 일 때에 비해, $N=10$ 을 취했을 때 주파수 特성이 理論的으로 약 45MHz(실험치: 40MHz) 높은 쪽으로 移動하며, $N=3$ 인 경우에는 약 95MHz 높은 쪽으로 移動한다. 또 周波数 帶域幅은 약간(약 0.5%) 줍아지고, 通過帶域의 ripple 수준은 상당히 커진다.

Fig. 7은 도체판 두께가 여파기 特성에 미치는 영향을 나타낸다. 설계시에 도체판의 두께를 0.0mil로 설계하여, 실제 0.7mil인 기판으로 제작하면 이론적으로 24MHz(실험치: 23MHz) 만큼 주파수 特성이 높은 쪽으로 移動한다.

또 $C=1.4\text{ mil}$ 이면 약 47MHz(실험치: 50MHz) 높은 쪽으로 移動한다. 또한 帶域幅은 약간 줍아지고, 리플

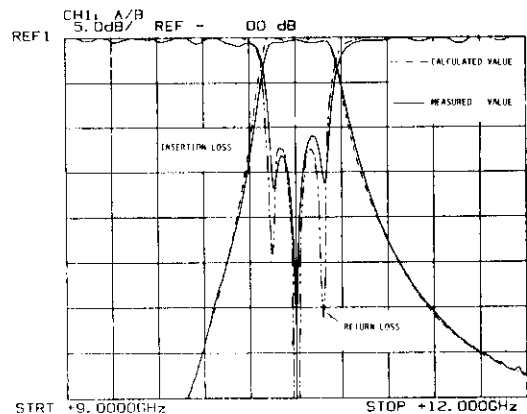
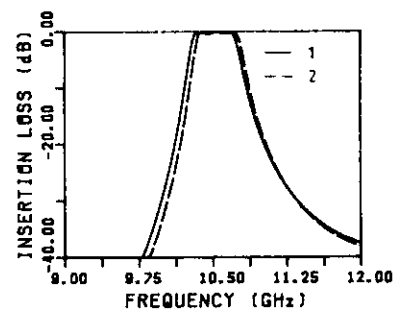
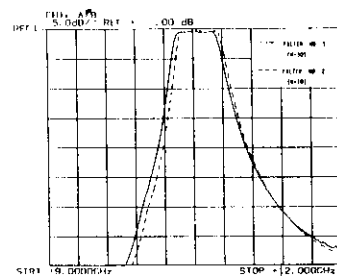


그림 5. Bilateral Fin-line 대역통과 여파기의 주파수 응답(표 1의 여파기 1)
Fig. 5. Frequency response of Bilateral Fin-line bandpass filter (filter 1 in Table 1).



(a) 이론적 비교

(a) Theoretical comparison.

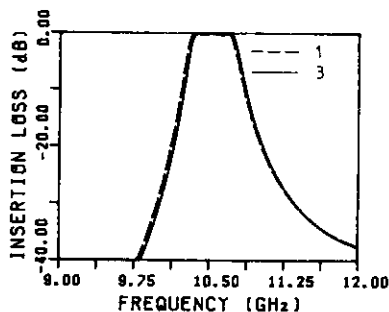


(b) 实驗적 비교

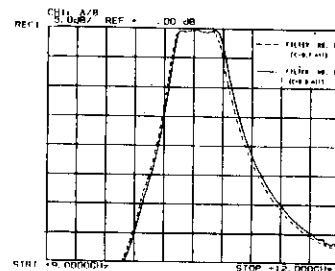
(b) Experimental comparison.

그림 6. Bilateral Fin-Line 여파기 特性에 대한 근사 함수 N 의 영향(표 1의 여파기 1과 2의 비교)
Fig. 6. Effects of approximation term no., N , on the Bilateral Fin-Line filter characteristics(comparison between filter 1 and 2 in Table 1).

Fig. 6. Effects of approximation term no., N , on the Bilateral Fin-Line filter characteristics(comparison between filter 1 and 2 in Table 1).



(a) 이론적 비교
(a) Theoretical comparison.



(b) 실험적 비교
(b) Experimental comparison.

그림 7. Bilateral Fin-line 여파기특성에 대한 도체판 두께의 영향(표1.의 여파기 1과 3의 비교)

Fig. 7. Conductor thickness effects on the Bilateral Fin-line filter characteristics (comparison between filter 1 and 3 in Table. 1).

수준도 약간 증가하지만, 近似項 數를 적게 취한 경우 보다는 변화가 적었다.

IV. 結論

本研究에서는 Bilateral Fin-line 構造를 모드 展開에 依한 Rayleigh-Ritz 變分法으로 解析하는 方法을 提示하고, Bilateral Fin-line 濾波器를 設計, 製作하여 理論值와 實驗值가 一致함을 보임으로써 理論的妥當性을 證明하였다.

X-band 帶域에서 Bilateral Fin-line 構造의 도체판 두께가 有限한 경우의 影響을 理論 및 實驗으로 확인했으며, 도체판이 1 mil 두꺼워 질 수록 여파기의 주

파수 特性은 약 34MHz 높은 쪽으로 移動한다. 近似項 數에 따른 影響은 보다 심각하였으며, 充分한 近似項 數(約 30項)를 取해야 須하는 濾波特性을 얻을 수 있었다.

本研究에서 提示한 解析方法은 既存의 Generalized Scattering Matrix 法에 比해 演算이 훨씬 簡單하며, 行列의 크기가 1/3로 감소하고, 모든 計算量이 實數로 처리되어, CPU 시간이 짧게 걸리며, 所要 메모리가 훨씬 작아진다.

本研究에서 提示한 Rayleigh-Ritz 變分法으로 3段 濾波器를 設計했을 때($N=30$), MV-8000 시스템으로 약 1分의 CPU 時間이 所要되었다. 實驗에 依하면 0.2 % 以內의 誤差로 設計가 가능했다.

附錄

각 구간에서 電界와 磁界의 단면성분을 표시하면,
구간 $Z \leq -\ell$ 에서

$$E_y(z) = a_1^{(t)} \Phi_1 e^{-\gamma_1(z+\ell)} + R_1^{(t)} a_1^{(t)} \Phi_1 e^{\gamma_1(z+\ell)} + \sum_{n=2}^N a_n^{(t)} \Phi_n e^{\gamma_n(z+\ell)} \quad (A-1)$$

$$H_x(z) = -Y_1 a_1^{(t)} \Phi_1 e^{-\gamma_1(z+\ell)} + Y_1 R_1^{(t)} a_1^{(t)} e^{\gamma_1(z+\ell)} + \sum_{n=2}^N Y_n a_n^{(t)} \Phi_n e^{\gamma_n(z+\ell)} \quad (A-2)$$

구간 $-\ell \leq z \leq \ell$ 에서

$$E_y(z) = \sum_{m=1}^N \{ b_m^{(t)} \psi_{1m} \cosh(\gamma_{1m}z) [u(x) - u(x-d)] + c_m^{(t)} \psi_{2m} \cosh(\gamma_{2m}z) [u(x-b) - u(x-b-t)] \\ + d_m^{(t)} \psi_{3m} \cosh(\gamma_{3m}z) [u(x-a+d) - u(x-a)] \} \quad (A-3)$$

$$H_x(z) = \sum_{m=1}^N \{ Y_{1m} b_m^{(t)} \psi_{1m} \sinh(\gamma_{1m}z) [u(x) - u(x-d)] + Y_{2m} c_m^{(t)} \psi_{2m} \sinh(\gamma_{2m}z) [u(x-b) - u(x-b-t)] \\ + Y_{3m} d_m^{(t)} \psi_{3m} \sinh(\gamma_{3m}z) [u(x-a+d) - u(x-a)] \} \quad (A-4)$$

이 되고, $z = -\ell$ 의 開口面 電界 및 磁界를 각각 $\mathcal{E}(x)$ 와 $\mathcal{H}(x)$ 라 하자. $z = -\ell$ 에서 電・磁界的 단면 성분이 연속이어야 하므로

$$\begin{aligned} \mathcal{E}(x) &= a_1^{(t)} (1 + R_1^{(t)}) \Phi_1 + \sum_{n=2}^N a_n \epsilon^{(t)} \Phi_n \\ &\quad - \sum_{m=1}^N \{ b_m^{(t)} \psi_{1m} \cosh(\gamma_{1m}\ell) [u(x) - u(x-d)] + c_m^{(t)} \psi_{1m} \cosh(\gamma_{2m}\ell) [u(x-b) - u(x-b-t)] \\ &\quad + d_m^{(t)} \psi_{2m} \cosh(\gamma_{2m}\ell) [u(x-a+d) - u(x-a)] \} \end{aligned} \quad (A-5)$$

$$\begin{aligned} \mathcal{H}(x) &= -Y_1 a_1^{(t)} (1 - R_1^{(t)}) \Phi_1 + \sum_{n=2}^N Y_n a_n^{(t)} \Phi_n \\ &= - \sum_{m=1}^N Y_{1m} b_m^{(t)} \psi_{1m} \sinh(\gamma_{1m}\ell) [u(x) - u(x-d)] + Y_{2m} c_m^{(t)} \psi_{2m} \sinh(\gamma_{2m}\ell) [u(x-b) - u(x-b-t)] \\ &\quad + Y_{3m} d_m^{(t)} \psi_{2m} \sinh(\gamma_{2m}\ell) [u(x-a+d) - u(x-a)] \end{aligned} \quad (A-6)$$

이 되고, 여기서

$$Y_0 = \frac{I_1}{jk_0\eta}, \quad Y_{1m} = \frac{\gamma_{1m}}{jk_0\eta}, \quad Y_{2m} = \frac{\gamma_{2m}}{jk_0\eta}, \quad Y_{3m} = \frac{\gamma_{3m}}{jk_0\eta}, \quad k_0 = \omega\sqrt{\mu_0\epsilon_0}, \quad \text{및 } \eta = \sqrt{\frac{\mu_0}{\epsilon_0}} \text{이다.}$$

스칼라・포텐셜 함수의 直交性을 利用하여, 계수 $a_m^{(t)}$, $b_m^{(t)}$, $c_m^{(t)}$ 및 $d_m^{(t)}$ 를 $\epsilon^{(t)}(x)$ 로 나타낼 수 있다.

$$a_1^{(t)} = \frac{1}{1 + R_1^{(t)}} \int_0^a \epsilon^{(t)}(x) \Phi_1(x) dx \quad (A-7)$$

$$a_n^{(t)} = \int_0^a \epsilon^{(t)}(x) \Phi_n(x) dx \quad (A-8)$$

$$b_m^{(t)} = \frac{1}{\cosh(\gamma_{1m}\ell)} \int_0^d \epsilon^{(t)}(x) \psi_{1m}(x) dx \quad (A-9)$$

$$c_m^{(t)} = \frac{1}{\cosh(\gamma_{2m}\ell)} \int_b^{b+t} \epsilon^{(t)}(x) \psi_{2m}(x) dx \quad (A-10)$$

$$d_m^{(t)} = \frac{1}{\cosh(\gamma_{3m}\ell)} \int_{a-d}^a \epsilon^{(t)}(x) \psi_{2m}(x) dx \quad (A-11)$$

(A-7) ~ (A-11) 식을 (A-6) 식에 대입한 후, 양변에 $\epsilon^{(t)}(x)$ 를 곱하여 $0 \leq x \leq a$ 에 대해 積分하여 정리하면, 다음과 같이 正規化 人力 어드미턴스 $Y^{(t)}$ 에 대한 變分表現式을 얻는다.

$$\begin{aligned} Y^{(t)} &= \frac{Y_1}{Y_0} \frac{1 + R_1^{(t)}}{1 - R_1^{(t)}} \\ &= \frac{\sum_{n=2}^N Y_n \left(\int_0^a \epsilon^{(t)}(x) \Phi_n(x) dx \right)^2 + \sum_{m=1}^N \left[2Y_{1m} B^{(t)}(\gamma_{1m}\ell) \left(\int_0^d \epsilon^{(t)}(x) \psi_{1m}(x) dx \right)^2 + Y_{2m} B^{(t)}(\gamma_{2m}\ell) \left(\int_b^{b+t} \epsilon^{(t)}(x) \psi_{2m}(x) dx \right)^2 \right]}{Y_0 \left(\int_0^a \epsilon^{(t)}(x) \Phi_1(x) dx \right)^2} \end{aligned} \quad (A-12)$$

$$Y^{(t)} = \begin{cases} Y_{sc}, & \epsilon = 1 \\ Y_{sc}, & \epsilon = 2 \end{cases} \quad (A-13)$$

$$B^{(t)}(x) = \begin{cases} \tanh(x), & \epsilon = 1 \\ \coth(x), & \epsilon = 2 \end{cases} \quad (A-14)$$

$\epsilon^{(t)}(x)$ 를 本文의 (18)식으로 전개하여, (A-12)식에 대입하여 정리하면

$$Y_0 Y^{(t)} \sum_{s=1}^N \sum_{r=1}^N M_s^{(t)} M_r^{(t)} P_{sr} P_{ri} = \sum_{s=1}^N \sum_{r=1}^N M_s^{(t)} M_r^{(t)} g_{sr}^{(t)} \quad (A-15)$$

이 되고, 여기서

$$g_{sr}^{(t)} = \sum_{n=1}^N Y_n P_{sn} P_{rn} + \sum_{m=1}^N \left\{ P_1 \cdot d \cdot Y_{1m} B^{(t)}(\gamma_{1m}\ell) + \frac{t}{2} \cdot P_1 \cdot Y_{2m} B^{(t)}(\gamma_{2m}\ell) \right\} \delta_{sm} \delta_{rm} \quad (A-16)$$

$$P_{sr} = \sqrt{2P_1d} \int_0^d \psi_{1s}(x) \Phi_n(x) dx + \sqrt{\frac{P_1 \cdot t}{2}} \int_b^{b+t} \psi_{2s}(x) \Phi_n(x) dx \quad (A-17)$$

$Y^{(t)}$ 는 $M_r^{(t)}$ 의 변화에 대해 stationary 해야 하므로, (A-15)식의 양변을 $M_r^{(t)}$ 에 관해 편미분하여 다음식을 얻는다.

$$Y_0 Y^{(t)} \sum_{s=1}^N M_s^{(t)} P_{sr} P_{ri} = \sum_{s=1}^N M_s^{(t)} g_{sr}^{(t)}, \quad \text{for } r=1, 2, \dots, N \quad (A-18)$$

參 考 文 獻

- [1] Y. Konishi and K. Uenakada, "The design of a bandpass filter with inductive strip-planar circuit mounted in waveguide," *IEEE Trans. Microwave Theory and Tech.*, vol. MTT-22, pp. 869-873, Oct. 1974.
- [2] F. Arndt, J. Bornemann, D. Grauerholz, and R. Vahldieck, "Theory and design of low insertion loss fin-line filters," *IEEE Trans. Microwave Theory and Tech.*, vol. MTT-30, no. 2, pp. 155-162, Feb. 1982.
- [3] Y. Shih, T. Itoh, and L. Bui, "Computer-Aided Design of millimeterwave E-Plane filters," *IEEE Trans. Microwave Theory and Tech.*, vol. MTT-31, no. 2, pp. 135-141, Feb. 1983.
- [4] K. Chang and P.J. Kahn, "Equivalent circuit of a narrow axial strip in waveguide," *IEEE Trans. Microwave Theory and Tech.*, vol. MTT-24, pp. 611-615, Sep. 1976.
- [5] 林在鳳, 李忠雄, "變分法에 依한 마이크로波 E-平面 濾波器와 Unilateral Fin-Line 濾波器의 解析 및 CAD 設計," 대한전자공학회지, 제22권 제 6 호 pp.63~70, 11월 1985.
- [6] R.E. Collin, "Field Theory of Guided Wave," MGH, New York, pp. 241, 1960.
- [7] R.E. Collin, "Field theory of Guided wave," MGH, New York, pp. 232-247 and 314-367, 1960.
- [8] R.E. Collin, "Field theory of Guided wave," MGH, New York, pp. 247, 1960.